調査・研究

サツマイモ基腐病菌を高精度かつ高感度に検出・ 同定できるリアルタイム PCR 法

農研機構 植物防疫研究部門 基盤防除技術研究領域 越境性・高リスク病害虫対策グループ 主任研究員 ^{ふじわら} かずき 藤原 和樹

はじめに

サツマイモ基腐病(基腐病)は、植物病原糸状菌である Diaporthe destruens(基腐病菌)によって引き起こされる。本病は、米国バージニア州で初めて発生が確認され¹⁾、これまでに南北アメリカ、アジア、アフリカ、およびオセアニアにおける一部の国々で発生が報告されている。国内では、2018年に沖縄県と鹿児島県で初めて発生が確認され、2019年には宮崎県においても発生が確認された²⁾。現在では、2022年1月末までに全国24都道県で発生が報告されており、発生地域の拡大が懸念されている。

基腐病の対策では、健全なかんしょ苗や種イモを使用し、基腐病を圃場に「持ち込まない」、万が一に基腐病が発生した場合は、感染株をすみやかに抜き取り、病原菌を圃場で「増やさない」、そして罹病した植物残渣を圃場に「残さない」ことが重要である。中でも、基腐病の発生初期における対応が非常に重要であり、被害が大きくなる前に発見できれば被害を最小限に抑えることができると大いに予想される。そのためには、基腐病菌を高精度かつ高感度に検出できる手法が必要不可欠である。本稿では、新たに開発したサツマイモ基腐病菌の検査手法について紹介する。

1 サツマイモ基腐病について

基腐病は、かんしょが基腐病菌に感染す ると発病する。罹病かんしょでは、地際の 茎組織に黒褐変の病斑、葉の赤紫色化や黄 化症状、さらには茎葉に萎れが生じ、最終 的には枯死に至る。地上部に加えて塊根で は、主になり口側から水浸状の腐敗症状が 認められ、独特の臭気を放つ。塊根の腐敗 症状は貯蔵中に見つかることが多いが、栽 培中に病勢が進み重篤化した場合には、土 壌中でも塊根の腐敗が認められる。一方、 収穫時に見た目が健全な塊根においても、 潜在感染しているものがあり、貯蔵中に腐 敗が生じることがある。黒褐変の組織や腐 敗部位には、柄子殼と呼ばれる微小の黒粒 が多数形成される。柄子殻には大量の胞子 が含まれており、柄子殻から漏出した胞子 が健全な苗や塊根へ広がることで二次的な 感染が生じ、被害が拡大する。基腐病の病 勢は、作付け直後は苗の草勢に比べて基腐 病の進行が強く、症状が急速に現れること で本病による異常を発見しやすいものの、 苗の生育が旺盛になると草勢が強くなり、 基腐病の症状が発見しにくい。その後、収 穫前に苗の草勢が弱くなると一転して基腐 病の症状が顕在化し、被害の深刻さが露見 する。

2 サツマイモ基腐病と類似する病害

基腐病に類似した症状を呈する主な病害 は、サツマイモ乾腐病(乾腐病)³⁾、サツ マイモつる割病(つる割病)、およびサツ マイモ茎根腐細菌病(茎根腐細菌病)が挙 げられる。乾腐病は基腐病の同属近縁種で ある Diaborthe batatas によって引き起こさ れる。本病は、栽培中に甚大な被害が発生 することはほとんど無いものの症例は酷似 している。塊根については、貯蔵中に発病 することが多く、基腐病と類似した腐敗症 状が認められ、基腐病と比べると塊根組織 の褐色は濃いことが多く、また軟化症状の 程度は低い。つる割病はF. oxvsporum f. sp. batatasによって引き起こされ、また他 の Fusarium 属菌 (F. acuminatum、F. incarnatum、F. proliferatum、およびF. solani) による同様の被害も報告されてい る⁴⁾。茎根腐細菌病はDicheya属細菌(旧 名*Erwinia chrisansemi*)⁵⁾によって引き起 こされる。両病ともに栽培中の茎葉に萎れ を伴う葉の黄化症状を呈し、最終的には枯 死に至る。両病では、それぞれ特徴的な症 例が認められており、つる割病においては、 茎が繊維状に割けた症状を呈し、導管部が 褐色になるものの、健全に肥大した塊根で の腐敗は少ない。茎根腐細菌病では、症状 が進展すると茎葉に軟化腐敗の症状が認め られることがあり、さらに肥大した塊根で も腐敗症状が発生することが多い。上記の サツマイモ病害は、基腐病とは異なる症例 が多いものの、目視で症状を診断するには 専門的な知識を必要とすること、また異な る病原体が重複して感染していることもあ り、基腐病と類似病害を見分けることが困 難である場合が多い。中でも、基腐病と乾 腐病の症状は酷似しており、他の病害より も見分けることが難しいため、両菌をそれ ぞれ鑑別できる手法が必要がある。

3 サツマイモ基腐病菌の検査技術

基腐病菌の検査手法は、培養した基腐病 菌を肉眼および顕微鏡観察によって形態学 的に鑑別する手法と、遺伝学的に検出する 手法(DNAバーコーディング法と迅速検 出法) の2つに大別される。培養法は古く から病害診断に利用されており、罹病組織 を培養源として人工的に微生物を培地上で 生育させ、得られた菌叢や形態を観察する ことで目的の病原体を鑑別し同定する。し かしながら、基腐病菌の培養には2週間程 度の日数を要し、また形態学的な知見に基 づいた鑑別には高度な専門知識を必要とす るため、適用が難しい場合がある。培養法 に加えて、遺伝学的な知見に基づいた検査 手法は、新たな同定法として利用されてい る。DNAバーコーディング法では、基腐 病菌を含む糸状菌の同定においてリボソー ムRNA遺伝子 (rDNA) の内部転写スペー サ - (internal transcribed spacer, ITS) 領域等の塩基配列情報を用いる。取得した ITS領域の塩基配列(DNAバーコード) を国際塩基配列データベース(the International Nucleotide Sequence Databases, INSD) に登録されている配列 情報と比較し同定する。本手法は、非常に 優れた検査手法であるが、作業工程が多く 検査に時間がかかる場合がある。迅速検出 法は、PCR (Polymerase Chain Reaction) 法等を用いてITS領域等における種特異的 な配列を検出する手法である。例えば、基 腐病菌に由来するDNAを鋳型として、プ

ライマー(目的のDNA配列に結合する相 補的な一本鎖の合成 DNA) を用いて ITS 領域に保存されている目的の領域を増幅 し、増幅したPCR産物を電気泳動によっ て目視で確認することで、基腐病菌を検出 する。これまでに海外の研究グループによ り基腐病菌を検出可能なSPPDプライマー を用いたPCR法について報告されている。 一方で、筆者らによる研究において、既報 のSPPDプライマーは国内で発生している 基腐病菌と乾腐病菌を区別できず、基腐病 菌に対する特異性が低いことを確認してい る⁶⁾。また、供試検体によっては極めて低 濃度の病原体を検出することが難しい場合 がある。そこで、筆者らは、DNA濃度を 数値化し、定量的に検出できるリアルタイ ムPCR法による新たな基腐病菌の検出・ 同定手法の開発に着手した。

基腐病菌と乾腐病菌をそれぞれ特異的に 検出できるプライマーを設計するために、 沖縄県、鹿児島県、および宮崎県から分離 された基腐病菌17菌株と乾腐病菌11菌株の ITS領域の塩基配列情報を取得し、INCD に登録されている基腐病菌および乾腐病菌 の同領域の配列情報と比較解析すること で、基腐病菌を標的としたDd ITS プライ マーと、乾腐病菌を標的としたDb ITSプ ライマーをそれぞれ設計した。リアルタイ ムPCR機器はQuantStudio5リアルタイム PCRシステム (Thermo Fisher Scientific社) で、リアルタイムPCR試薬はTB Green Premix Ex Tag II (Takara社) を用いた。 PCR 反応液は、1×TBGreen Premix Ex Tag II、1×ROXリファレンスDye II、0.4 μ Mの各プライマー (Foward/Reverse)、 および 2 μLの DNA 鋳型溶液を最終容量

20 μL中に含有した。リアルタイム PCR条 件は、94℃で1分間の初期変性、続けて32 サイクルの96℃で30秒間の変性、55℃で30 秒間のアニーリング、および72℃で30秒間 の伸長から構成され、融解曲線解析は 96℃で15秒間の変性、55℃で1分間の保持 および55から96℃への15秒間の加熱で行っ た。リアルタイムPCRに供試する鋳型 DNAは、上記の基腐病と乾腐病の分離菌 株に加えて、農業生物資源ジーンバンク (https://www.gene.affrc.go.jp/index j. php)より入手した近縁糸状菌(Diaporthe gardeniae (MAFF 410870), D. nobilis (MAFF 245916). D. santonensis (MAFF 410114), Phomopsis asparagi (MAFF 150068). P. cucurbitae (MAFF 410452). P. fukushii (MAFF 625033), P. macrospora (MAFF 410314), P. velata (MAFF 410118), and P. vexans (MAFF 150147)) を用いて、DNeasy Plant Mini Kit (Quiagen社) のプロトコルに準じて 抽出したものを供試した。各菌株は、サツ マイモ煮汁固形培地もしくはジャガイモ煮 汁固形培地を用いて25℃で2週間培養し、 培地上で伸長した菌糸を含む寒天片 5 mm を切り出し、DNA抽出に用いた。加えて、 健全なかんしょ茎および塊根についても同 様にDNA抽出を行い供試した。

まず、設計したDb ITSプライマーとDd ITSプライマーの基腐病菌と乾腐病菌に対する検出精度について調べたところ、供試した近縁糸状菌やかんしょ茎および塊根では非特異的な増幅は認められず、基腐病菌と乾腐病菌にそれぞれ特異的な増幅産物が得られた(図1)。融解曲線分析において、基腐病菌と乾腐病菌の融解温度(Tm値)

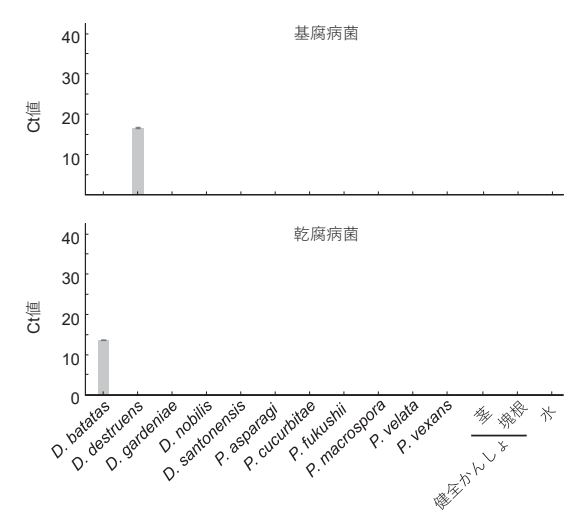
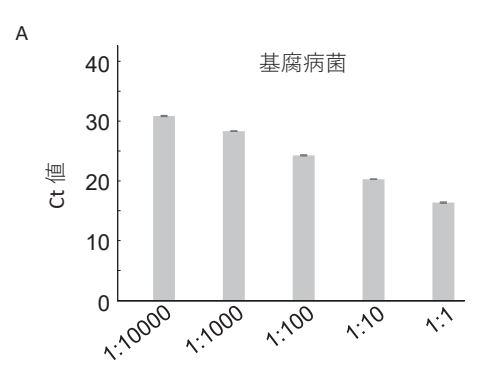
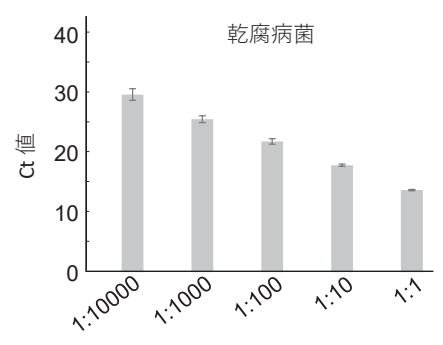


図1 リアルタイムPCRによる基腐病菌と乾腐病菌 の特異的検出

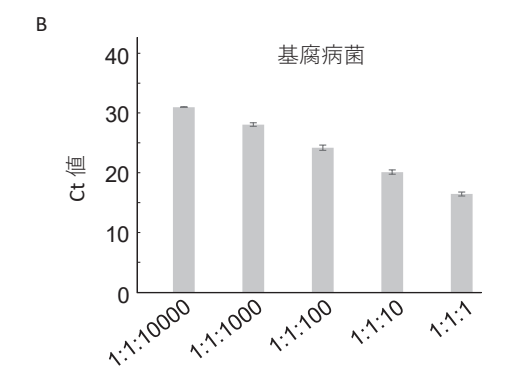
新規プライマーを用いたリアルタイムPCRにより基 腐病菌と乾腐病菌のDNAをそれぞれ特異的に検出で きる。エラーバー:標準偏差(N=3)。 は、それぞれ86.9(±0.4)と89.3(±0.4)を示した。次に、両菌から抽出したDNA量を5 ng/µLに調整し、10万分の1まで希釈した鋳型DNA系列を作製し、検出感度を調べたところ、1万分の1まで希釈したDNA濃度においても、基腐病菌と乾腐病菌をそれぞれ特異的に検出できることが認められた。次に、乾腐病菌と基腐病菌が重複感染している状況を想定し、両菌DNAの濃度比を変えて混合すると、片方のDNA濃度がもう一方のDNA濃度の1万分の1でも定量的に検出できることが認められた。さらに、感染植物からの検出を想定し、かんしょDNAと両菌DNAの濃



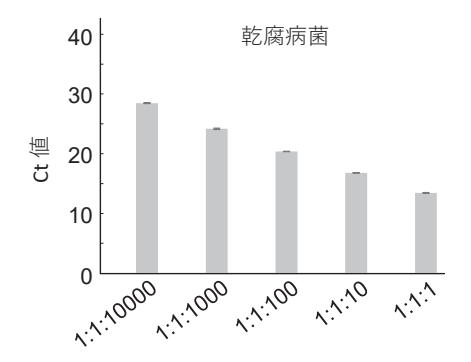
基腐病菌: 乾腐病菌DNAの混合比



乾腐病菌: 基腐病菌DNAの混合比



基腐病菌:乾腐病菌:かんしょDNAの混合比



基腐病菌:乾腐病菌:かんしょDNAの混合比

図2 リアルタイム PCR による基腐病菌と乾腐病菌の高感度検出

A 基腐病菌と乾腐病菌のDNAがお互いの1万分の1の濃度($0.0005 \, \text{ng/}\mu\text{l}$)まで希釈されても、それぞれを高感度に検出できる。B 基腐病菌と乾腐病菌のDNAがかんしょDNAの1万分の1まで希釈されても、同様の感度で検出できる。エラーバー:標準偏差(N=3)。

プライマー名	塩基配列	病原菌名	断片長 (bp)
Dd ITS-F	5'-GTTTTTATAGTGTATCTCTGAGC-3'	基腐病菌	258
Dd ITS-R	5'-GGCCTGCCCCTTAAAAA-3'	圣	
Db ITS-F	5′-GTTTCTATAGTGAATCTCTGAGT-3′	乾腐病菌	317
Db ITS-R	5′-TCCAGAGCGAGATGTAACTA-3′	忆/粉/内图	

表1 新規プライマーの塩基配列

度比を変えて混合すると、病原菌のDNA 濃度がかんしょDNA濃度の1万分の1で も同様に定量的に検出できることも認めら れた。本技術を利用し、圃場や貯蔵中に異 常を示したかんしょ茎や塊根を対象に本遺 伝子検査を行うことで、基腐病菌や乾腐病 菌の検出が可能であることも確認してい る⁶⁾。これにより、新規プライマーを用い たリアルタイムPCRを実施することで、 基腐病菌と乾腐病菌を高精度かつ高感度に 検出できる新たな検査手法を提案すること ができた。

終わりに

基腐病は、かんしょ生産地域で最も警戒すべき病害の一つである。本病からかんしょ産地を守るためには、圃場での防除に加えて、種苗を通じた未発生地域への侵入や蔓延を防ぐためにも、疑わしい症状が発見された場合は、乾腐病を含む他のかんしょ病害と区別して直ちに適切な対応を取る必要がある。本稿では、基腐病菌と乾腐病菌をそれぞれ特異的に検出できる新規プライマーを用いたリアルタイムPCRを行うことで、両菌を高精度かつ高感度に検出できる新手法を紹介した。本手法を活用することにより、基腐病の発生を早期に把握

し、適切な防除対策を講ずることができれば被害拡大の抑制につながると考える。本 手法は、これまでに基腐病の初発生を確認する場面で既に利用されており、かんしょ 種苗や生産物の品質管理などの場面で利用されることで、基腐病に対する更なる対策強化を期待したい。

謝辞

本研究は、生研支援センター「イノベーション創出強化研究推進事業」の支援を受けて行った。共同研究者の方々や関係者の方々には多大なご協力、ご支援を賜りましたことから、心から感謝の意を表します。

参考文献

- 1) Harter, L. L. (1913) Phytopathol. 3:243-245
- 2) 小林(2019) 植物防疫. 73:501-505.
- 3) Udayanga, et al. (2015) Fungal Biol. 5:383-407.
- 4) Scruggs, et al. (2016) Phytopathol. 106:909-919.
- 5) Schaad, N. W., and Brenner, D. (1977) Phytopathol. 67:302-308.
- 6) Fujiwara et al. (2021) Front. Plant Sci. 12:694053.